

流路形態と渓岸侵食に関する実験

建設省土木研究所○水山高久
上原信司

1. 緒言

砂防計画における土砂は、これまである地点を通過する総量として考えられる事が多かったが、それだけでは砂防施設の適正配置などを十分説明することはできない。今後は土砂生産源を厳密に議論する必要があると考えられる。土砂の生産源は、崩壊、土石流、裸地の侵食、人為的なものその他、河床と渓岸の侵食がある。この中で山地河川の渓岸侵食は今まであまり議論されたことが無かった。そこで若干の実験を通して、各中の流路形態と渓岸侵食を考察する。

2. 実験の概要

図-1のような台形断面を有する長さ20m、河床勾配 $1/25$ の木製水路と、図-2のような粒度分布の混合砂を用いた。側壁には、河床材料として用いた砂とペントナイトを9:1で混合したもの5cm厚で敷いた。これは砂のみの場合、側岸侵食が始まると同時に側岸の土砂が河道内にまき落ち、これが流路の状態を乱すことを防ぐためであり、自然の渓岸や山腹を構成する土砂にはある程度の粘着力が期待できることを考えたからである。この水路に入れる土砂の量を変えることによって種々の水路幅(谷幅)とすることができる。流量は250, 500および1000cc/secの3種類とし、前半の1時間は給砂し、後半の1時間は無給砂とした。

3. 結果とその解釈

(1) 流路幅と流路形態 初期の河道幅 B_{ci} がいかにもself-formed channelの流路幅 B_0 より小さい場合には B_0 に近くなるまで一様拡幅する。 B_{ci} が B_0 より大きい場合には通水直後から蛇行が始まる。蛇行は必ずしも時間的に安定ではなく、時々分流して網状となる。流路幅 B_0 と流量の関係は図-4に示すように著者らが先に示した経験式 $B_0 = 3.5 \sim 7.0 \sqrt{Q}$ (m/sec単位)の範囲にある。蛇行波長は、流量が増加すると若干増加するがそれよりも、図-5に示すように水路幅 B_c に比例している。蛇行波長が流路幅 B_0 ではなく、水路幅に比例するということは同じ勾配で流出する傾向があるということである。以上の形態をふまえて、初期の河道幅 B_{ci} と $B_0 = 6\sqrt{Q}$ から求まる流路幅 B_0 との比をパラメーターとしてつぎに渓岸侵食量を調べる。

(2) 游岸侵食量 流量が1000cc/secの1ケースをのぞいて、側岸を十分侵食して木製の側壁が露出することとは無く、1時間程度以内

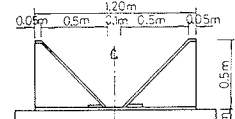


図-1 台形水路の断面

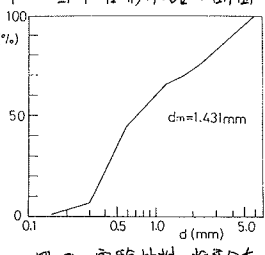


図-2 実験材料の粒度分布

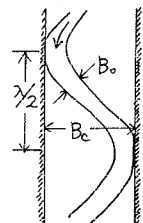


図-3 諸量の定義

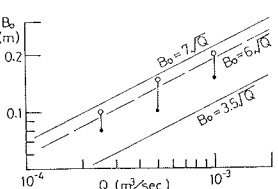


図-4 流量と流路幅の関係

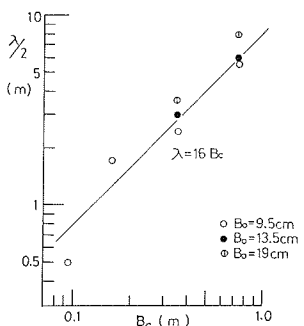


図-5 水路幅と蛇行波長

に側岸侵食はほとんど進まなくなる。2時間通水後一定間隔で側岸侵食量を測定した平均値は図-6のようになる。これは片側の平均侵食深で、2倍して距離をかけると総側岸侵食量となる。ただし前述したように時間とともに減少する。図-6において測定値の数は十分でないが、 $B_{ci} < B_0$ では片側において平均 $\bar{E}_s = \frac{B_0 - B_{ci}}{2}$ の侵食が生ずるであろう事を考慮すると曲線のような関係が予想され、初期河道幅が流路幅(B_0)の2~3倍の時に最大値を示すと読むことができる。また主な攻撃点での侵食量を測定してその平均をとると、図-7のようになる。バラツキは大きいがやはり $B_{ci}/B_0 = 2 \sim 3$ 付近に最大値を有する変化傾向を示す。その値は平均値(図-6)の2倍以上となってい。このように極大値が現れる原因是蛇行した流路による側岸の攻撃点の移動性にあると思われる。そこで攻撃点の移動速度を調べると図-8のようになり、やはり B_{ci} が B_0 に比して大きくなるほど移動速度が大きくなっていることがわかる。攻撃点の移動が少ないと図-9のスケッチの(A)のように局所的に側岸侵食が大きくなり、移動が速いと(B)のようにほとんど全区間に渡って同程度の侵食を受けることになる。

(3) 流砂量の時間的変化からの考察 下流端で流砂量の

時間的変化を調べて上流端給水量に対する濃度として示すと、図-10のようになる。初期の浸透が効き過ぎていいるものも見られるが、流砂量の時間的変動から流路形態を推定することができる。すなわち、 $Q=250 \text{ cm/sec}$, $B_{ci}=6 \text{ cm}$ の前半の変動は砂礫堆の移動による。 $Q=1000 \text{ cm/sec}$ の2例は蛇行の進行を示し、平均値の0.5から1.5倍の間で変動する。変動の小さいものは河床が平坦であるか蛇行が停止しているもので、 $Q=250 \text{ cm/sec}$, $B_{ci}=16 \text{ cm}$, $Q=500 \text{ cm/sec}$, $B_{ci}=36 \text{ cm}$ で顕著である。河床が給砂によつて平均的に平衡状態にあるものと、河床低下の傾向にあるものでは様子が異なり、後者の方が周期の長くなつた傾向が見られる。あとがき 限られた実験であるが、山地河川の、蛇行の卓越した状況での渓岸侵食量についてその特性を知ることができた。これらの情報は流路工の護岸付近の侵食に対しても、一つの示唆を与えるものと考えられるが、図-6~8の横軸の諸量の無次元化などさうに検討すべき事項も多い。

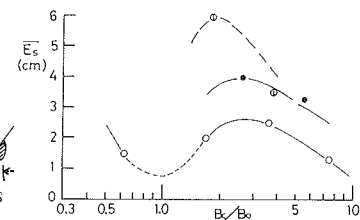
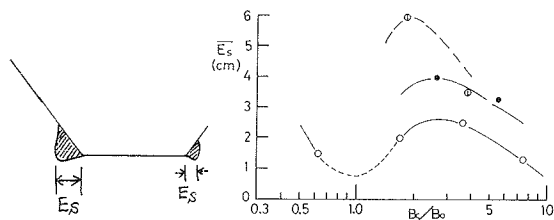


図-6 渓岸侵食量(平均)

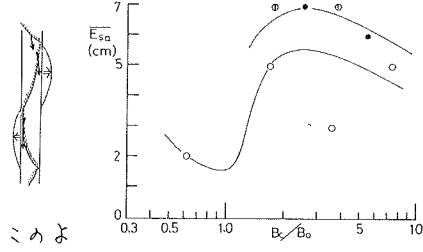


図-7 攻撃点の侵食量

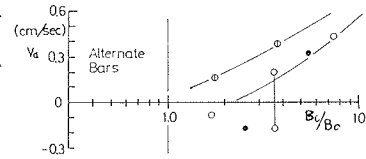


図-8 攻撃点の移動速度

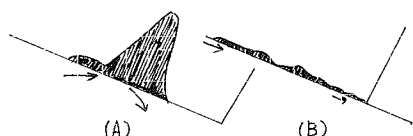


図-9 攻撃点の状況(スケッチ)

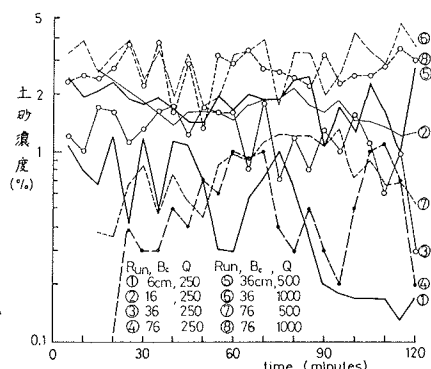


図-10 流砂量の時間的変化